

# حَوْلَيَةِ كُلِّيَّةِ الْإِنْسَانِيَّاتِ وَالْعِلُومِ الاجْتِمَاعِيَّةِ

العدد السادس عشر

١٤١٤ هـ / ١٩٩٣ مـ

# **أنموذج للتوازن البيئي**

## **دراسة في الجغرافيا التطبيقية**

د. يحيى محمد شيخ أبوالخير

إنستاذ الجيومورفولوجيا المشارك  
قسم الجغرافيا - كلية الآداب  
جامعة الملك سعود - الرياض

### **مقدمة : الأهداف والأهمية المنهجية :**

يمثل النظام البيئي (Environmental System) وحدة أو مجموعة وحدات ترتبط مع بعضها البعض بعلاقات مشتركة . وتعمل هذه المستويات بأمر الله عز وجل خارج وداخل إطار يكفل للبيئة توازنها واستقرارها حيث قال عز وجل ﴿ والأرض مددناها وألقينا فيها رواسِي وأنبتنا فيها من كل شَيْءٍ موزون﴾ (سورة الحجر ، الآية ١٩) .

يهدف هذا البحث إلى عرض وتحليل مجموعة من النماذج التفاضلية التتابعية (Sequential differential equations) التي قام الباحث بابتکار بعضها (معادلة ١ إلى معادلة ١١- نموذج التوازن البيئي الذي يناقشه هذا البحث) واستخدام الاطر البنائية للبعض الآخر منها (معادلة ٢ إلى معادلة ٧) مستندا على مفاهيم التفاضل والتكامل ومبادئ المنطق الرياضي ومنهج النماذج التشبيهية (Simulation models) التي يستفاد منها في استقراء عناصر النظام البيئي والاستدلال على مستوياته واستنباط أحوال مسلكياته الزمكانية . وقد استخدم الباحث الحاسوب الآلي لبناء هذه النماذج وتحليلها وذلك من خلال برنامج محاكاة للبيئة صمم لغرض هذا البحث الذي يهدف أيضا إلى تمثيل آلية النظام البيئي

الارتدادي (Environmental Feedback mechanism) من ناحية والتكشيف عن المستويات التي تحقق توازنه (Equilibrium) وتبعده عن تدني مستوى الطاقة فيه (الانتروبيا Entropy level) من ناحية اخرى .

وتعود أهمية المعادلات التفاضلية التي قام عليها نموذج التوازن البيئي (معادلة ١ إلى معادلة ٤) في هذا البحث إلى ما يلي :

١ — قابلية أطراف كل منها التداخل او الترابط بكيفية تتحقق أشكالها التكاملية . (Integrated Form)

٢ — قدرتها على تتبع معدلات تغير التحميل البيئي (Environmental carrying capacity) للنظام قيد الدراسة رصدا وتحليلا .

٣ — احتواها للمتغيرات (Variables) المؤثرة في النظام البيئي والتابعة والجاذبة فيه وفق قالب فيزيو رياضي يعبر في مضمونه عن هدف ومحتوى آلية هذا النظام ويحسب معدل تغيره الزمني كما هو موضح في الشكل ١ و ٢ .

٤ — قدرتها على نمذجة الترابط بين المتغيرات قيد البحث وإبراز طبيعة هذا الرابط بنائيا وبيانيا (معادلة ١ إلى معادلة ٤ وشكل ١ و ٢) .

٥ — قدرتها على تشبيه النتائج التفاضلية في إطار بياني يعكس الفاعلية الوظيفية التي تساعد على تقرير الاوضاع الالازمة للارتقاء بالبيئة الى المستوى الذي يكفل لها توازنها واستقرارها «شكل ٢» .

٦ — إبراز الوضع البيئي الأمثل للعلاقات القائمة بين مستويات البيئة المحققة والداعية للتوازن الذي يكفل تحفيظاً نموذجياً يحقق للبيئة توازنها واستقرار آلية نظامها البيئي الارتدادي .

هذه النتائج التفاضلية التتابعية المطروحة في هذا البحث تعد اذاً مرآة منهجمية فعالة وهامة ينعكس عليها نموذج التوازن البيئي الذي يحاكي آلية نظامه الارتدادي ويباور الاطر التي تهيء تبعه زمكانياً ويساعد كمياً على تحديد القيمة

الحدية اللاحقة لحالة الاستقرار والتوازن فيه . وفيما يلي عرض للمعادلات التي ابتكرها الباحث نموذجا للتوازن البيئي الذي يهدف هذا البحث الى تحقيقه .

$$\frac{ds}{dt} = [(A \times S \times F) / (B \times P)] - (C \times S) \quad \underline{\text{معادلة ١}}$$

$$\frac{dF}{dt} = [(D \times F) / (E \times P) - (R \times S \times F)] (RK - F/RK) \quad \underline{\text{معادلة ٢}}$$

$$\frac{dp}{dt} = Q + Tonpe (s) - Y \times P. \quad \underline{\text{معادلة ٣}}$$

و فيما يلي تفسير للمتغيرات الواردة في هذه النهاذج حيث أن :

S = المستوى التابع أو الانقيادي او الاعتمادي في النظام .

F = مستوى الجذب او المستوى الاعتمادي في النظام .

P = المستوى المؤثر في النظام او المتغير الوسيط .

علماً بأن كلا من S, P يمكن ان يكون تابعاً ومؤثراً في ديناميكية النظام في نفس الوقت . أما F فهو مستوى جذب في كل الحالات لكونه مصدراً للديناميكية النظام وديمومته بأمر الله سبحانه وتعالى .

أما A, R, E, D, C, B, A (RK - F/RK) في هي ارقام ثابتة . أما النموذج (RK - F/RK) في المعادلة  $\frac{dF}{dt}$  فيعرف بـ (The Logistic Model) . ويعبر هذا العامل في جمله عن مدى استيعاب البيئة لاستنزاف الطاقة في نظامها المغلق (Closed System) او تبادل مستويات الطاقة في نظامها المفتوح (Open System) ولذا فان هذا العامل يعتبر من الوجهة الرياضية عامل توازن للنظام (Stabilizing Factor) تعتمد فعاليته على مدى قدرة التحمل البيئي .

اما P فهو يعرف فيزيائيا بالعمر النصفي المتوقع للمادة (Half Life) . ويمكن التعبير عن اضمحلال مستوى الطاقة ووصول وحدات النظام الى حد النضوب واستنزاف الطاقة باستخدام ما يسمى بنموذج تحلل او احلال المادة

ويمكن عرض هذا النموذج على النحو التالي :-

$$\frac{dg}{dt} = -kg$$

معادلة ٢

حيث أن ( $g$ ) هي الطاقة الأولية المتاحة لبقاء وحدات النظام وتطورها زيادة ونقصاناً مع الزمن ( $t$ ). أما ( $k$ ) فهو معامل يعبر عن معدل التغير في المادة مع الزمن. وسيرد فيما بعد توضيحاً رياضياً لكيفية تحديد هذه القيمة. وبما أن  $g_0 = g_0 e^{-kt}$  في حالة  $t=0$  فان

$$g = g_0 e^{-kt}$$

$$\therefore g = g_0 e^{-kt} \quad \text{معادلة ٣}$$

حيث ان  $g_0$  عندما تكون  $= g_0$  في هذه الحالة هي المقدار الأولي المتاح لبقاء وحدات النظام ويعرف بالقيم الأولية (Initial Values). ولكن يجب التنويه بأن  $-kt$  لن تكتمل الا بطرح قيمة المستوى المؤثر منها والذي يمكن ان يصاغ تفاصيلياً على النحو التالي :

$$\frac{dp}{dt} = yp$$

معادلة ٤

$$\frac{dp}{p} = y dt \quad \text{و بما أن } p_0 = C_0 \quad \text{عند } t=0$$

$$p = C_0 e^{yt} = p_0 e^{yt} \quad \text{معادلة ٥}$$

ولهذا فان المعادلة الآتية الامر  $g = g_0 e^{-kt}$  تصبح كالتالي :

$$g = g_0 e^{-kt} - p_0 e^{yt} \quad \text{معادلة ٦}$$

$$\therefore g = g_0 e^{-kt}$$

$$\therefore -\frac{g}{g_0} = e^{-kt}$$

$$\ln \frac{E}{E_0} = -kt \ln e$$

$$\ln \frac{E}{E_0} = -kt$$

$$k = \frac{\ln E_0 - \ln E}{t}$$

معادلة ٧

ويمكن حساب  $Y$  في  $p_0 e^{yt} = p$  تفاضليا وفقا للطرق التي اتبعت  
لحساب ( $k$ ) أعلاه.

#### الفلسفة البنائية للنهاذج :

وباستعراض هذه النهاذج أعلاه يتضح مدى امكانيتها في إبراز العلاقة والترابط بين وحدات النظام ضمن إطاره البيئي والارتدادي . ويمكن لنا ان نتصور هذه النهاذج على أنها مجسم فيزيوريافي يعبر في مضمونه عن هدف وتحتوى آلية النظام المنوه عنه أعلاه . فمن الواضح ان كل نموذج من تلك النهاذج لابد وان يعبر عن معدل للتغير (Rate of Change) ومعدل النقص (Rate of Decrease) في المتغير الواحد للظاهرة الواحدة . ولهذا يعتقد الباحث ان النهاذج الموضحة سابقا مثال جيد للربط بين المتغيرات التي يتحقق فيها الرابط الحلقي المتعدد (Loop Feed - Back System) . ولهذا يمكن ان تُقيّم هذه النهاذج في مجموعها على أنها وحدة لمجموعة الحساب التفاضلي المركب (Sequential Diff. eq.) كما سيتضح لنا في العرض التالي لفلسفة النهاذج وتركيباتها الرياضية : —

$$\frac{ds}{dt} = [(A * S * F) / (B * P)] - (C * S)$$

معادلة ١١:

ويتضح من هذه المعاملة أن المستوى التابع او الانقيادي ( $S$ ) يتزايد بناء للتزايد في مستوى الجذب ( $F$ ) ويتناقص بل ويتدهور هذا المستوى بناء للزيادة في المستوى المؤثر ( $P$ ) . ولهذا نجد ان المعادلة التفاضلية أعلاه تحتوي على معدلين :

-1- معدل الزيادة في المستوى التابع ويعبر عنه :

$$(A \times S \times F) / (B \times P)$$

-2- معدل النقص في المستوى التابع ويعبر عنه :

$$(B \times P) - (C \times S)$$

وهذا معناه ان معدل الزيادة في المستوى التابع يرتبط ارتباطا اطرا迪ا ايجابيا مع زيادة مستوى الجذب والمستوى التابع نفسه. اما معدل النقص في المستوى التابع فيرتبط ارتباطا اطرا迪ا عكسيما مع زيادة المستوى المؤثر.

(2) أما المعادلة الثانية والتي تتعلق بمعدل تغير مستوى الجذب نفسه (S) فيمكن صياغتها تفاضلية على النحو التالي :

$$\frac{dF}{dt} = [(D \times F) / (E \times P) - (R \times S \times F)] (RK - F/RK)$$

ويتضح من هذه المعادلة وجود معملي تغير ايضا هما :

1- المعدل الاول وهو  $\frac{dF}{dt} = EXP(1)$  ويمثل معدل التزايد في مستوى الجذب .

2- المعدل الثاني وهو  $\frac{dF}{dt} = (R \times S \times F) (RK - F/K)$  ويمثل معدل التناقض .  
ويشير هذان المعدلان الى ان النقص في مستوى الجذب يرتبط ارتباطا عكسيما مباشرا مع المستوى المؤثر في النظام بينما يرتبط ارتباطا موجبا مباشرا مع المخزون البيئي في مستوى الجذب نفسه . كما يرتبط معدل التناقض أيضا ارتباطا موجبا مع زيادة المستوى التابع ، وهذا لا شك يشير بوضوح الى انه كلما زادت كثافة المستوى التابع كلما انعكس ذلك على التدهور في المخزون البيئي لمستوى الجذب .

(3) وبنفس الطريقة السابقة يمكن تحليل معدل التغير في كثافة المستوى المؤثر في النظام (P) على النحو التالي :

$$\frac{dp}{dt} = Q + Tonpe (s) - Y \times P \quad \text{معادلة 1 ج}$$

وهذا معناه ان معدل التغير في (P) يتأثر ايضا بمعدل الزيادة مطروحا منه معدل التناقض في المخزون البيئي من هذا المستوى . ولهذا نجد معملي تغير هما :

- ١ — المعدل الأول ( $s$ )  $Q + T_{\text{one}}$  ويمثل معدل التزايد في المستوى المؤثر .
- ٢ — المعدل الثاني  $Y \geq P$  . ويمثل معدل التناقض في المستوى المؤثر .
- ولكن يجب ان يكون واضح اهنا بأن  $dp$  لا ينطبق رياضيا في حالة  $Q + T_{\text{one}} (s) \geq Y \geq P$  .

#### تحقيق النهاذج والنتائج :

ولمعرفة مدى فعالية هذه النهاذج ، فقد قام الباحث بمساعدة الحاسوب الآلي باجراء عدة عمليات رياضية شملت مستويات ذات علاقات مشتركة تتأثر وتأثر في بعضها للوصول بالنظام البيئي الى حالة من التوازن تقدمة من الانزلاق في برانش حد النصوب . ولقد اختار الباحث من بين تلك التجارب التجربة المتعلقة بتمثيل آلية النظام البيئي الارتدادي للمستويات البيئية التالية :

عدد الصيادين في بيئة بحرية ما ( $s$ ) ، عدد الاسماك ( $F$ ) والتلوث ( $P$ ) . وتعتبر التجربة ان عدد الصيادين يمثل المستوى الانقادي ويتمثل عدد الاسماك مستوى الجذب بينما يمثل التلوث المستوى المؤثر في النظام . ولقد اقررت لكل من تلك المستويات قيمها أولية هي  $30,000, 1,000, 5$  كيلوجرام / م<sup>3</sup> على التوالي . واعتمادا على هذه القيم الاولية المفترضة فقد وضع خطوة لتبني التغير في هذه المستويات على مدى خمسين عاما . وفيما يلي عرض نتائج هذه الخطة المفترضة على النحو التالي :

تشير النتائج بأن أعداد الصيادين تزداد نتيجة لزيادة الاسماك (عامل الجذب) . وتصاحب هذه الزيادة في أعداد الصيادين ارتفاع في معدلات تلوث المياه كما هو موضح في شكل (١) وتدل النتائج أيضا بأن الفترة المحصورة بين السنة الثامنة والعشرين من الخطة الخمسينية سوف تشهد زيادة ملحوظة في أعداد الصيادين ممثلة في قمة حادة ذات توزيع بياني متجانس .

وتتكرر هذه القمة حول الفترة المحصورة ما بين العام ٣٢ الى ٤٢ من هذه الخطة المفترضة . ومن المتوقع خلال هاتين الفترتين السابقتين حدوث تدهور في اعداد الاسماك ومعدلات التلوث (شكل ١) وتدل النتائج بأنه لو اخذنا في

الاعتبار بأن العدد الاولى للصيادين عند (٥) هو ٣٠٠٠٠ صيادا وفقاً لهذه الخطة، فان الحسابات تؤكد بأن هذا العدد سيضاعف نفسه خلال السنوات العشر الاولى من الخطة الخمسينية اذ من المتوقع ان يصل هذا العدد الى نحو ٦٢٤٢ صيادا.

وسيصبح هذه الزيادة ملحوظة في معدلات التلوث اذ سترتفع القيمة من ٥ كيلوجرام الى ٧،٣ كيلوجرام في المتر المكعب الواحد من الماء هذه الزيادة في التلوث ستكون ضابطا طبيعيا يؤدي قسراً الى هروب الصيادين وتدني أعدادهم. فتشير النتائج بأنه من المتوقع في مثل هذه الحالة ان ينقص العدد من ٦٢٤٦ صيادا إلى نحو وذلك خلال الفترة المنحصرة ما بين العام العاشر والعام الثالث والعشرين من هذه الخطة وسيصبح هذا تدني أيضاً في معدلات التلوث من ٣ الى ٧ كيلوجرام في المتر المكعب الواحد من الماء. ونتيجة لتدني معدلات التلوث وزيادة الأسماك فإن أعداد الصيادين سيزداد من ٣٤٠١٢٠ صيادا إلى نحو ٥٠٣٢٨ صيادا. وستؤدي هذه الزيادة إلى ارتفاع معدلات التلوث مرة أخرى اذ سيصل المعدل إلى حوالي ٤،٧ كيلوجرام / م٣. وتحتاج أن تتغير ملحوظاً في أعداد الصيادين سيراً على الخط في العام ٤٧ إلى ٥٠ من هذه الخطة. وسيصبح هذا زيادة ملحوظة في أعداد الأسماك وانخفاض بين في معدلات التلوث.

ان ترشيد الثروة السمكية ونقاء المياه يتطلب معرفة دقيقة بمدى قدرة التحميل للبيئة (Carrying Capacity) اذ ان معرفة هذا العامل والتخطيط لهذه الثروة في ضوئه يؤدي لاشك الى توازن الثروة السمكية وتوازن مستوى التلوث وبالتالي رفع كفاءة الصيد والانتاجية السمكية وحفظ النوع. وانطلاقاً من هذا المفهوم فقد أضاف الباحث على النموذج المتعلق بمستوى الجذب المعامل  $F/RK$  -  $RK/F$  (RK) والذي سبق التعرض له آنفاً وتشير النتائج ان لهذا المعامل اثراً كبيراً على توازن نتائج المعادلات الآنفة الذكر، وتخلصها من التذبذب او الضوضاء (Noise). ان ادخال هذا العامل في الحسابات المتعلقة بترشيد الثروة

السمكية والفعالية الاقتصادية للصيد يقلل كثيراً من أخطاء التخطيط المتأرجح . ويعكس (شكل ٢) دور هذا العامل في توازن القيم وثباتها وتحقيق خطة تعكس توازن البيئة عند الحدود التالية :

١ - تتواءز هذه البيئة في حالة عدم زيادة اعداد الصيادين عن ٥٠٠٠٠ صياد .

٢ - تتواءز هذه البيئة في حالة عدم زيادة معدلات التلوث عن ٧ كيلوغرام / م٣ .

٣ - اما الاسماك وهي عامل الجذب فيجب ألا تقل اعدادها عن ١,٥٠٠٠٠ سمكة .

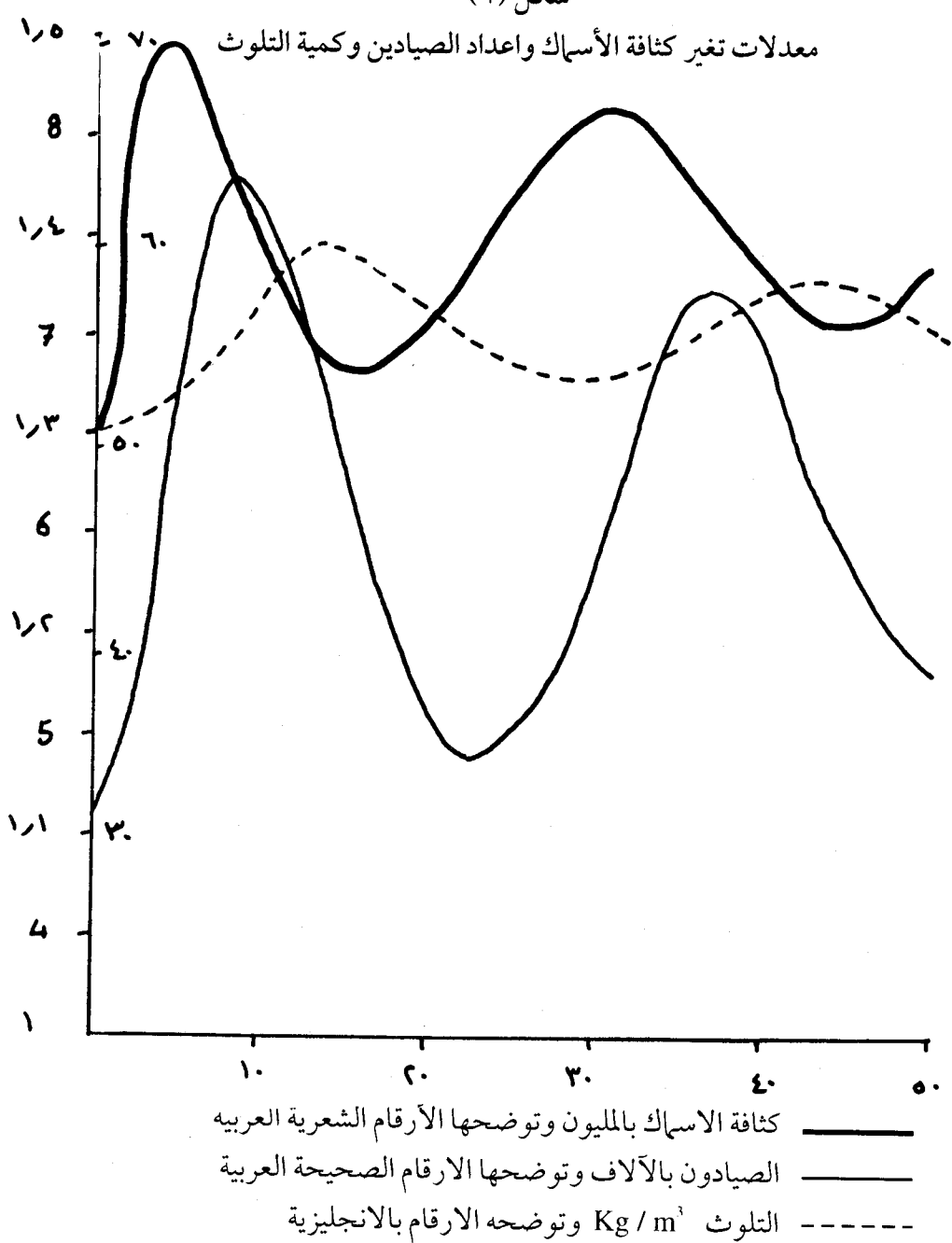
ولهذا يستحسن التركيز في التخطيط للتوازن البيئي على استخدام المعادلة التي تشمل المعامل ( $RK - F/RK$ ) لانه اكثر توازناً واتساقاً وأقل ذبذبة في تمثيل آلية النظام البيئي من المعادلات التي تخلو منه كما يتضح ذلك من المقارنات بين نتائج الشكل ١ و ٢ .

#### الخلاصة :

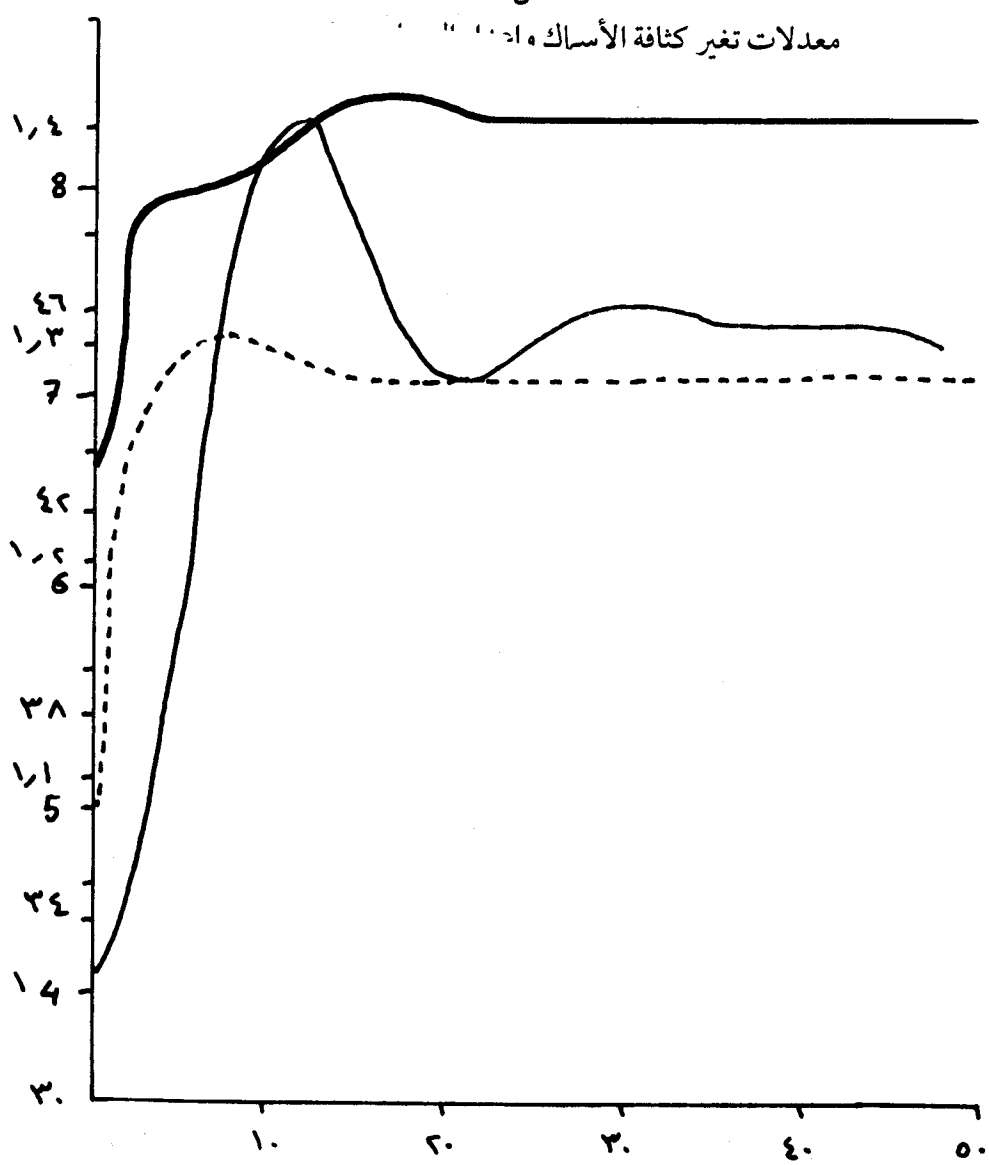
على الرغم من ان هذه النماذج تحتاج الى الكثير من الدراسة والتمحیص والتحقيق والتطوير وادخال الكثير من المتغيرات الاخرى عليها الا انها لا شک تساهم مساهمة فعالة في وضعها الحالي لتوسيع مدى الترابط بين المتغيرات المطروحة للدراسة وطبيعة هذا الترابط .

ويتناول الباحث المسؤولين والمختصين الى الاسراع في وضع نماذج تكفل فهم البيئة فيها دقيقاً ووافياً ، واستخدام هذه النماذج في التخطيط الامثل للبيئة ، وعلى أية حال فان اية خطة مستقبلية لاستخدام البيئة يجب ان تعمل في إطار يكفل توازن البيئة ويحافظ على آلية نظامها الارتدادي .

شكل (١)



شكل (٢)



كثافة الأسماك بـ المليون وتوضيحها الأرقام الشعرية العربية

الصيادون بـ الآلاف وتوضيحها الأرقام الصحيحة بالعربية

التلوث  $\text{Kg} / \text{m}^3$  وتوضيحه الأرقام بالإنجليزية

## **Selected Further Reading**

- Bennett R. j. and Chorley R. j., 1978, Environmental Systems: Philosophy, Analysis and Control, Methuen, London.
- Bittinger, M. L., 1976, Calculus: A Modeling Approach, Addison - Wesley, Massach.
- Chadwick, C, 1974, A Systems View of Planning Pergamon press, Oxford.
- Cole, j.p. and King C.A.M., 1970, Quantitative Geography, 3rd ed., john wiley, London
- Dasmann, R., 1968, Environmental Conservation, John Wiley, New York.
- Frenkiel F. N. and Goodall D. W. (eds) 1978, Simulation in Geology, John Wiley, New York.
- Goudie, A. S., 1983, Environmental Change, 2nd ed., Clarendon Press, Oxford.
- Harbaugh, J.W., and G Bonham - Carter, 1970, Computer Simulation in Geology, John Wiley, New York.
- Leopold, L. B., and W. B Langbein, 1962, The Concept of Landscape evolution, Goel, Sur, Prof. Pap., 500-A, U. S. Gov. Print Office, Washington, D.C.
- Maron, M.J., 1982, Numerical Analysis - A Practical Approach, Mcmillon Pub. Co. New York.
- Martin, E. W., 1969, Mathematics for Decision Making, Vol. II: Calculus, Richard D. Irwin, Inc., Homewood, III.
- Shaw, G and Wheeler, D., 1985, The Statistical Techniques in Geographical Analysis, John Wiley, New York.
- Thomas R. W., and Huggett, R.j., 1980, Modelling in Geography: A Mathematical Approach, Harper and Row, New York.
- Oldfield F., Battarbee R. W. and Deering J.A., 1983, New Approaches to recent environmental change, Geog. J. A., Journal, Vol. 149, pp 167 - 818
- Wilson, A. G. and Kirkby, M.J., 1975 Mathematics for Geographers and Planners, Clarendon Press, Oxford.